

Position play in carom billiards as a Markov process

Mathieu Bouville

*Institute of Materials Research and Engineering, 3 Research Link, Singapore 117602
email address: m-bouville@imre.a-star.edu.sg*

Summary. Using certain techniques a billiards player can have long series of easy shots — each shot leading to another easy shot — and very high scores. As the usual model for carom billiards assumes a Bernoulli process which does not account for such correlations, it cannot capture this important feature of the game. Modelling carom billiards as a Markov process, the probability to make a shot can be made to depend on the previous shot. The improved agreement with data is an indication that a Markov process indeed captures the effects of position play better. Moreover it is possible to quantify how much a player plays position. Given two players with the same average, one can tell the good shot-maker from the good position player. This can be useful for players (and their coaches) to evaluate their strengths and weaknesses.

Keywords: billiards, sports, Markov process, Bernoulli process

1. Introduction

The word “billiards” can have two meanings: it can refer to “cue games” in general — including pool and snooker — or it can refer to a specific game, also called “carom billiards” or “carom”. This game is played with three balls on a pocketless table (a short glossary is provided as an appendix.) A player must make his cue ball contact with the two object balls. If he succeeds he scores a point and plays again. At the end of the game an average can be obtained by dividing the number of points by the number of innings. Rankings can be established based on the average runs of players, even for players who have never played against each other. This is similar to track and fields for instance where times or distances can be compared to establish rankings between athletes who have never competed against one another.

1.1. Historical background

In 1880, in Paris, in a game between the French Vignaux and the American Slosson, the latter ran 1 103 points in a row. Vignaux then ran 1 531 points. Ten years later 3 000 points in a row were scored in San Francisco. This corresponds to playing for days without missing. If a position of the balls on the table is picked randomly no player has a probability to miss lower than, say, 1 %. But when the players manage to gather the balls close to a rail they can have very long runs (series of shots without missing.) They could not play for hours without missing if they had to face many difficult shots. In order to have easier shots the players must gather the balls (it is hard to miss when the balls are close together) and keep them together. This technique is called the rail nurse.

To make the game less easy, new rules were created. It became forbidden to leave the balls in some area of the table for more than one or two shots, this version of the game is

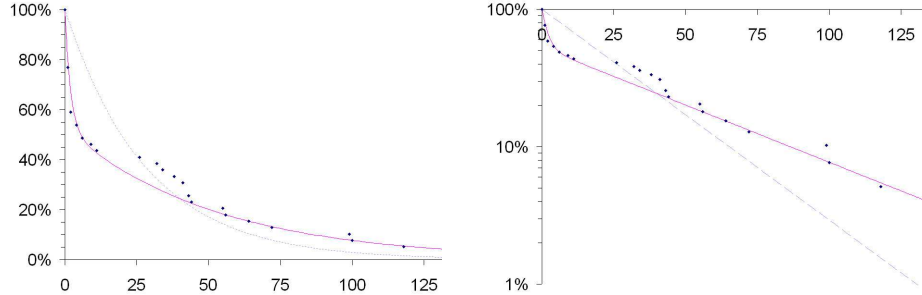


Fig. 1. μ_n , the probability to score at least n points, as a function of n on a linear scale (a) and a semi-logarithmic scale (b). Diamonds: data from B. Villiers; dotted line: Bernoullian model; dashed line: Markovian model.

called balkline. Another way to make the game harder is to force the player to hit one rail (one-cushion billiards) or three rails (three-cushion billiards) before the cue ball contacts the second ball. The model presented here is more suitable for the “easier” games in which long series can be obtained.

1.2. Carom billiards as a Bernoulli process

The game of billiards has been studied in details for at least 170 years from a solid mechanics point of view Coriolis (1835); Petit (1996). The study of the statistics of billiards on the other hand has been limited to assuming a Bernoulli process.[†] Let μ_n the probability to score at least n points. The common model assumes a Bernoulli process with a success rate $\lambda < 1$. The general term for (μ_n) is then

$$\mu_n = \lambda^n. \quad (1)$$

The average length of a run is $m = \lambda/(1 - \lambda)$. The distribution of the runs is completely determined by λ : if λ is known, there is a known probability $\mu_n = \lambda^n$ to have a run of at least n points. There is an equivalence between λ and the average, and Fray (2002) even calls λ an average. Figure 1 shows results of Bernard Villiers when he won the 47/2 balkline Courbevoie tournament in 2004. These data are based on the 39 complete innings he played in the tournament (innings which were interrupted because Villiers reached 200 points and won the match are not used). The Bernoullian model (dotted line) is a poor fit to the data (diamonds.) It overestimates the importance of short runs and underestimates that of long runs.

1.3. The importance of position play

The average is commonly used for ranking purposes. However it cannot contain all the information from the distribution of runs. In particular, it does not provide any information on position play, which is a very important feature of straight-rail billiards for instance. The

[†]This model can be found in various books or other sources. It was probably derived independently by many people. It is therefore not possible to give credit here.

probability to make a shot depends on its difficulty, which is not necessarily random. When facing a difficult shot the player focuses on making the shot (we assume that the player tries to score the point without thinking of defending). But on easy shots, making the shot is not an issue and the player can try to play in a way such that the point will be scored and the final positions of the balls will be such that the next shot will also be an easy one. This is called “playing position”. After an easy shot, one can therefore obtain a shot easier than average. Of course, the correlation between the successive shots depends on the ability of the player and on the kind of game played (e.g., few three-cushion shots are really easy). As a consequence a player can have a series of easy shots and very long runs. Such correlations are completely absent from the Bernoullian model described in Section 1.2; it can therefore not properly describe the distribution of runs.

Although some limitations of this Bernoullian model have been considered, in particular issues arising from the finite length of matches Fray (2002), the effect of position play has never been studied. This article describes a new model which retains some of the essence of the game through the correlation between successive shots. In this model the positions of the balls on the table (and therefore the difficulty of the shot) depend on the previous shot. Unlike in a Bernoulli process, this Markov process can account for position play; it is therefore an improvement in understanding games in which position is a central feature. In Section 3 we use the model to extract information from data.

2. Carom billiards as a Markov process

2.1. An intuitive Markov process

If we consider that there exist N_0 possible positions of the balls on the table, the outcome of a shot can be either success with the balls ending in one of the N_0 possible configurations or failure. The probability to score a shot and the position of the balls for the next shot depend only on the position of the balls at the beginning of the shot, not on where they were earlier in the game. Thus the succession of shots is a Markov process with $N_0 + 1$ states, where time is the shot index. Unfortunately the transition probabilities are many and they cannot be readily obtained.

2.2. A tractable Markov process

Similar positions can be treated together in order to have only N *kinds* of positions. If N is taken to be small, the number of parameters is more manageable and these parameters can be interpreted concretely.

We consider that there are two kinds of shots: difficult shots (type 1) and easy shots (type 2). When playing a given shot, there are three possible outcomes: miss, success with the balls ending in a difficult position, and success with the balls ending in an easy position. A difficult position is a position of the balls which makes the shot difficult; we therefore use “difficult shot” and “difficult position” as synonyms. The same is of course true of easy positions and shots. The types of shots can *a priori* be chosen arbitrarily. However, since the model focuses on probabilities of scoring, it is much more useful if different types of shots have different probabilities to be made. We thus choose difficult and easy shots as type 1 and 2 in order to provide information on position play.

Let $P^{(n)}$ the vector of components the probability of the balls being in a difficult position and the probability of the balls being in an easy position after shot n . The sequence $(P^{(n)})$

is given by

$$P^{(n+1)} = KP^{(n)}. \quad (2)$$

The component k_{ij} of the matrix K is the probability to score from a shot of type j with the next shot of type i . Let κ_i the probability to score on a shot of type i , $\kappa_i = k_{1i} + k_{2i}$. K is *akin* to a transition. The state corresponding to “misses” is not included as the corresponding components can straightforwardly be obtained from K , e.g., the probability to miss a shot of type i is $1 - \kappa_i$. Let ρ_1 and ρ_2 the eigenvalues of K . $P^{(n)}$ can be written as

$$P^{(n)} = U \begin{pmatrix} \rho_1^n & 0 \\ 0 & \rho_2^n \end{pmatrix} U^{-1} P^{(0)}. \quad (3)$$

U is a rotation matrix. The components of $P^{(n)}$, $p_1^{(n)}$ and $p_2^{(n)}$, are respectively the probabilities of having the balls in a difficult position and in an easy position after shot n . Their sum is μ_n , the probability to have scored at least n points,

$$\mu_n = \begin{pmatrix} 1 & 1 \end{pmatrix} P^{(n)} = \begin{pmatrix} 1 & 1 \end{pmatrix} U \begin{pmatrix} \rho_1^n & 0 \\ 0 & \rho_2^n \end{pmatrix} U^{-1} P^{(0)}. \quad (4)$$

μ_n is of the form $\mu_n = (1 - Y)\rho_1^n + Y\rho_2^n$. This sum of geometric sequences is consistent with the data from the Courbevoie tournament. Figure 1(b) shows μ_n on a semi-logarithmic scale as a function of n : the data follow an exponential law at low n and another exponential at high values of n . Figure 1(b) thus proves that Eq. (4) is a better description of carom billiards than Eq. (1).

2.3. Extension to N kinds of positions

Equation (4) can be extended to N dimensions by accounting for N possible kinds of positions of the balls on the table

$$\mu_n = \begin{pmatrix} 1 & \dots & 1 \end{pmatrix} U_N \begin{pmatrix} \rho_1^n & & \\ & \ddots & \\ & & \rho_N^n \end{pmatrix} U_N^{-1} P^{(0)}. \quad (5)$$

Let ρ an eigenvalue of K and V the associated eigenvector. Using that $\sum_i k_{ij} < 1$, the norm of KV is $\|KV\| = \sum_i |\sum_j k_{ij}v_j| \leq \sum_i \sum_j k_{ij}|v_j| < \sum_j |v_j| = \|V\|$. As $\|KV\| = |\rho|\|V\| < \|V\|$, $|\rho| < 1$. The eigenvalues are smaller than one in modulus. Therefore the average, the sum over n of μ_n , converges:

$$m = \begin{pmatrix} 1 & \dots & 1 \end{pmatrix} U_N \begin{pmatrix} \frac{\rho_1}{1-\rho_1} & & \\ & \ddots & \\ & & \frac{\rho_N}{1-\rho_N} \end{pmatrix} U_N^{-1} P^{(0)}. \quad (6)$$

3. Quantifying position play

One of the main purposes of this model is to quantify position play. In particular we want to be able to determine what comes from shot-making abilities and what comes from position play. However the system is underdefined: the four initial parameters —the elements of the matrix K — lead to two eigenvalues. These can be obtained from the score sheets of a player but four unknown cannot be calculated from only two numbers. In this section we show how much information can be extracted from the data.

Table 1. Y , ρ_1 , ρ_2 , m , and μ_{100} for B. Villiers using the Bernoulli and Markov processes. $m = 27.8^*$ means that the parameters were fitted under the constraint that m must be equal to 27.8.

	Y	ρ_1	ρ_2	$\rho_1 + \rho_2$	m	μ_{100}
Bernoulli	1*	0*	0.965	0.965	27.8*	2.9 %
Markov	0.53	0.600	0.981	1.581	27.8*	7.7 %

3.1. Calculating the elements of the matrix K from the eigenvalues

If $k_{21} = k_{11}$ and $k_{12} = k_{22}$ then $\rho_1 = 0$. k_{21} and k_{11} are the probabilities to have an easy shot and a difficult shot respectively after a difficult shot. If $k_{2i} = k_{1i}$ then the player does not manage to obtain easy shots and there is no correlation between subsequent shots. In order to evaluate the effect of position play we define δk_1 and δk_2 by $k_{21} = k_{11} + \delta k_1$ and $k_{22} = k_{12} + \delta k_2$. δk_1 is the extra probability to obtain an easy shot after a difficult one and δk_2 is the extra probability to obtain a second easy shot after a first easy shot.

The eigenvalues ρ_1 and ρ_2 are known as functions of the components of K . Inverting this system δk_1 and δk_2 can be obtained as functions of ρ_1 , ρ_2 and two elements of K , e.g., k_{11} and k_{12} .

$$\delta k_1 = (k_{11} - \rho_1)(\rho_2 - k_{11})/k_{12} - k_{11} \quad (7a)$$

$$\delta k_2 = \rho_1 + \rho_2 - k_{11} - k_{12}. \quad (7b)$$

3.2. Possible values of δk_1 and δk_2

The values of k_{11} and k_{12} are not known. However these two parameters cannot take any arbitrary values: they must be between 0 and 1, $0 < k_{2i} = k_{1i} + \delta k_i < 1$, $0 < k_{1i} + k_{2i} = 2k_{1i} + \delta k_i < 1$, and $k_{11} + k_{21} < k_{12} + k_{22}$. Limiting ourselves to these acceptable values we can ask: given the values of the eigenvalues ρ_1 and ρ_2 for a given player (obtained from his score sheets) are there admissible values for k_{11} and k_{21} satisfying Eq. (7)? For some $(\delta k_1, \delta k_2)$ suitable k_{11} and k_{21} exist, for others they do not. Figure 2 shows the locus of the $(\delta k_1, \delta k_2)$ which can be solution to Eq. (7). It is possible to explicitly obtain the acceptable values of δk_1 and δk_2 . The derivations are not difficult but the results are an awkward set of conditions which δk_1 and δk_2 must verify. The exact expression for these is not important in itself and can be better expressed graphically.

Figure 2 shows the possible values of δk_1 and δk_2 in two cases. The “pointy part” in Fig. 2(b) is at $(\delta k_1, \delta k_2) = (\delta k_1, \delta k_1 + 2(\rho_1 + \rho_2 - 1))$. This point corresponds to the solution with the largest δk_1 . A solution with $\delta k_1 > 0$ and $\delta k_2 > 0$ exists iff $\rho_1 < 1 - \rho_2/2$. If this condition holds it is possible that the player play position on both easy and difficult shots. This is the case in Fig. 2(a) but not in Fig. 2(b): Villiers does not play position on difficult shots.

Figure 2(b) shows the results for Villiers ($\rho_1 = 0.60$ and $\rho_2 = 0.981$). Although its precise value is unknown δk_2 must be positive and δk_1 is negative: Villiers generally gets an easy shot after an easy shot (he plays position) but after a difficult shot he generally does not manage to get an easy shot. Table 1 shows the parameters used to fit data in Fig. 1.

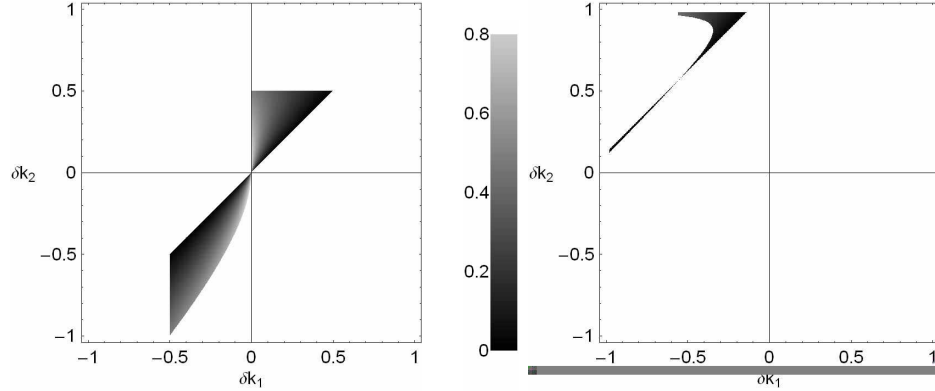


Fig. 2. The locus of $(\delta k_1, \delta k_2)$ for $\rho_1 = 0$ and $\rho_2 = 1/2$ (a) and for $\rho_1 = 0.60$ and $\rho_2 = 0.981$ (b). The level of gray indicates the difference between the probability to score on easy shots and the probability to score on difficult shots.

3.3. Comparing two players who have the same average

Given two players with the same average, the model can help us to tell the good shot-maker from the good position player. This can be useful for players to evaluate their strengths and weaknesses.

Let us compare B. Villiers to a player who would have the same average (27.82) but for whom $\rho_1 = 0$ and $\rho_2 = 0.9653$. Figure 3 shows, for the two players, the possible values of δk_1 , δk_2 and $p_1^{(0)}$ such that the average is 27.82. There are few possible values for Villiers whereas the fake player has many possible $(\delta k_1, \delta k_2)$. Unlike Fig. 2(b) Fig. 3 requires the average to be 27.82: values of δk_1 and δk_2 which cannot give the correct average for any value of $p_1^{(0)}$ are discarded from Fig. 3. Due to this additional constraint the value of δk_2 greater than 0.92 for Villiers. As expected for balkline δk_2 is quite large. δk_2 is known to within 0.06 and δk_1 to within 0.20. Assuming values of -1/2 and 0.97 for δk_1 and δk_2 respectively, the matrix K is

$$K \approx \begin{pmatrix} 0.60 & 0.01 \\ 0.10 & 0.98 \end{pmatrix}. \quad (8)$$

3.4. Strategy of the opponent

The first shot played by a player is the shot his opponent left him. This shot may not be random. If the opponent has a defensive style, he may leave rather hard shots most of the time. On the other hand, if he plays offensively he may give a good position to his opponent if he misses. The eigenvalues ρ_1 and ρ_2 depend only on K , not on $P^{(0)}$. Thus they are independent of the opponent. They can be determined by fitting Eq. (4) to data averaged over several opponents.

Figure 4 shows the average in the case where $\rho_1 = 0$ and $\rho_2 = 1/2$ for three kinds of opponents. In Fig. 4(a) the opponent leaves only easy shots, i.e. the first shot the player has to play is always an easy one. In Fig. 4(c) the opponent leaves only hard shots and half easy half hard in the case of Fig. 4(b). When $\delta k_1 = \delta k_2 = 1/2$ the average is always 1,

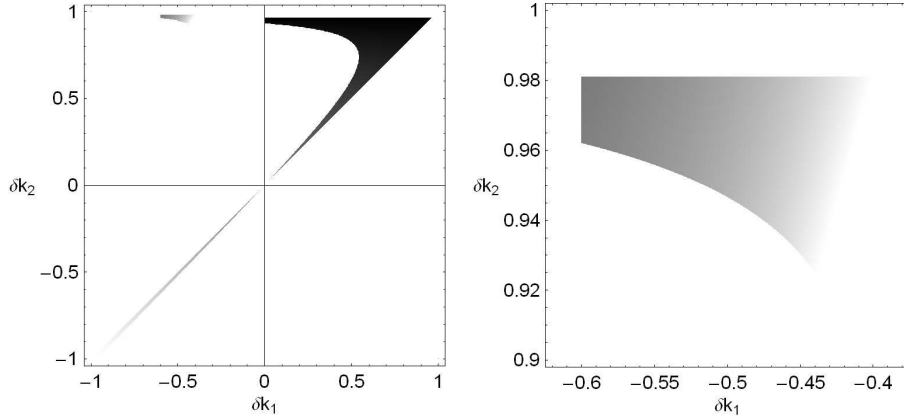


Fig. 3. The proportion of difficult shots left by the opponent, $p_1^{(0)}$, depending on δk_1 and δk_2 . On the top left of Fig. (a) is the curve for $\rho_1 = 0.60$ and $\rho_2 = 0.981$ and the curve on the right is for $\rho_1 = 0$ and $\rho_2 = 0.9653$. Figure (b) is the results for Villiers, close-up.

independently of what the opponent does. For $\delta k_1 = 0$ and $\delta k_2 = 1/2$ on the other hand the average can vary between 0 and 1 depending the strategy of the opponent. This provides an extra information: if for a given player one knows ρ_1 , ρ_2 and how the player fares against players playing rather offensively or defensively it is possible to reduce the span of possible $(\delta k_1, \delta k_2)$. If for instance one knows that a player with $\rho_1 = 0$ and $\rho_2 = 1/2$ is not very sensitive to the strategy of his opponent one will expect that $\delta k_1 \approx \delta k_2$.

3.5. The case of three-cushion

In the game of three-cushion getting a good position on the next shot is difficult (even scoring a point is difficult and a player who can score two thirds of the time is amongst the very best in the world). At the first order in δk_1 and δk_2 , (μ_n) is such that

$$\ln \mu_n = \ln Y + n \left[\ln (k_{11} + k_{12}) + \frac{k_{12}}{(k_{11} + k_{12})^2} (\delta k_1 + \delta k_2) \right] + o[(\delta k_1 + \delta k_2)n]. \quad (9)$$

In three-cushion billiards n seldom becomes large, the equation therefore applies as long as δk_1 and δk_2 are small. Then the logarithm of μ_n is of the form $A + Bn$. It is thus similar to the expression obtained without correlation, when μ_n is a single geometric sequence. In this case, although position is played, the plot of μ_n as a function of n would appear identical to that of a player who does not play position at all. It is therefore difficult to apply this model to three-cushion since the subtle effects of position play are more difficult to notice.

Figure 5 shows $\ln \mu_n$ as a function of n for Raymond Ceulemans at the 1978 three-cushion world championship. He played 382 innings, won all his matches and the tournament. Raymond Ceulemans is probably the best player of all times, he has more than 100 titles (world, Europe and Belgium). He won 17 of the 18 three-cushion world championships held between 1963 and 1980. Even for such a player at the peak of his career three-cushion is a difficult game and, unlike what was observed in Fig. 1 for Villiers playing balkline, the

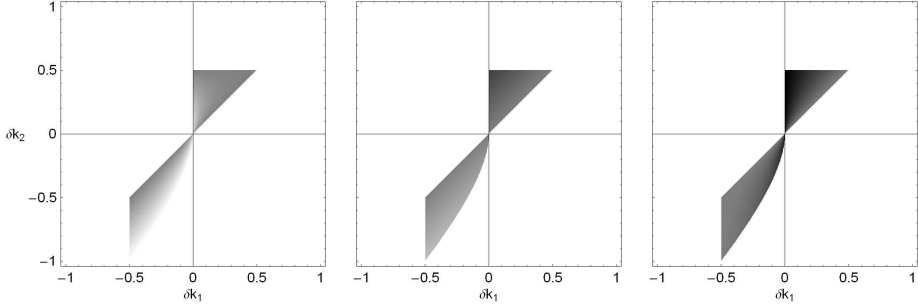


Fig. 4. The average for $\rho_1 = 0$ and $\rho_2 = 1/2$. The proportion of difficult shots left by the opponent is $p_1^{(0)} = 0$ (a), $p_1^{(0)} = 1/2$ (b), and $p_1^{(0)} = 1$ (c).

results of Ceulemans are rather close to an exponential. Figure 5(b) shows possible values for δk_1 and δk_2 using the values $\rho_1 = 0.5$ and $\rho_2 = 0.7$ —these values were used to plot the solid line in Fig. 5(a). Although the difference between the Markovian and Bernoullian models is smaller than in the case of Villiers (Fig. 1) Fig. 5(b) shows that δk_2 is positive: Ceulemans plays position.

3.6. Solutions which are mathematically correct but meaningless

The solutions shown in Fig. 2 are mathematically possible but some may be meaningless. The level of gray indicates the difference between the probability to score on easy shots, $k_{12} + k_{22}$, and the probability to score on difficult shots, $k_{11} + k_{21}$. Large negative values of δk_2 are suspicious since they would indicate that the player scores a lot on easy shots but never manages to get series of easy shots. Also there are cases in which the probability to score on easy shots and on difficult shots is about the same. This work can only provide a set of possibilities. It is not possible to unambiguously find the matrix K as the system is underdefined. Common sense and knowledge of the game must be used in order to discard some of the results which are solution to the equations but not solution to the problem.

3.6.1. The case of three-cushion

Since $(\ln \mu_n)$ is close to a linear function either ρ_1 and ρ_2 are close to one another (as for R. Ceulemans) or one eigenvalue is close to the Bernoullian case and has a prefactor close to 1 and the other eigenvalue has a prefactor close to 0 and contributes little. In the latter case one of the eigenvalues can be chosen arbitrarily and bears little meaning.

If $\mu_n = 1/2(\rho_0 - \varepsilon)^n + 1/2(\rho_0 + \varepsilon)^n$, $\mu_n = \rho_0^n + O(\varepsilon^2)$. This is very close to the case of $\rho_1 = 0$ and $\rho_2 = \rho_0$. However the values of δk_1 and δk_2 would be very different in these two cases. Also, if Y is small or close to 1 then $\mu_n \approx X\rho^n$ where X is Y or $1 - Y$ and ρ is an eigenvalue. This case too gives a μ_n similar to the Bernoullian case. However these two cases and Bernoulli would give very different values of K .

Figure 5(a) shows two possible fits. In one case $\mu_n = 1/2 0.7^n + 1/2 0.5^n$ and in the other case $\mu_n = 0.95 0.6^n + 0.05 0.83^n$. It would mean that his opponents always left him almost only difficult shots, which is unlikely. Although this set of parameters with a value

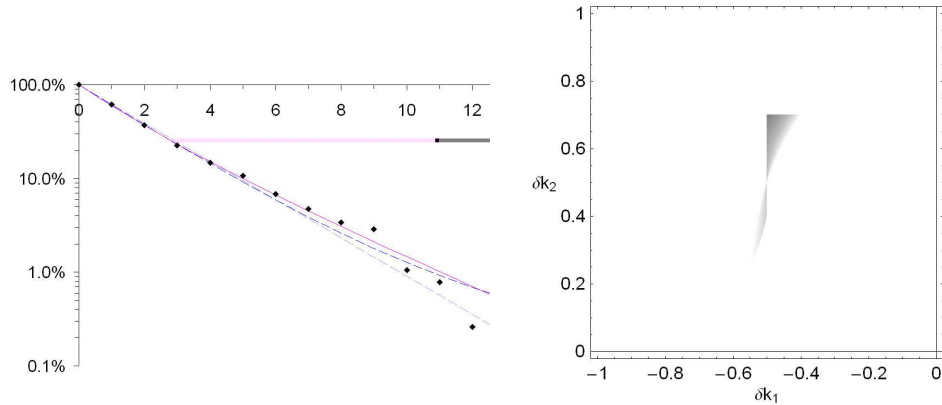


Fig. 5. (a): μ_n , the probability to score at least n points, as a function of n on a semi-logarithmic scale. Diamonds: data from R. Ceulemans; dotted line: Bernoulli; dashed line: Markov ($\rho_1 = 0.5$ and $\rho_2 = 0.7$). (b): Locus of $(\delta k_1, \delta k_2)$ for $\rho_1 = 0.5$ and $\rho_2 = 0.7$; the gray scale corresponds to the average run if $p_1^{(0)}$.

of ρ_1 close to the value in the Bernoullian model (60 % instead of 62.5 %), a large ρ_2 and Y close to 0 is a good fit to the data it seems a very unlikely solution.

The difference between Bernoullian and Markovian models is noticeable only for long runs in the case of three-cushion. The two sets of parameters discussed in the previous paragraph gives different μ_n only for n larger than 15 or so. In the case of Ceulemans, out of the 382 innings 90 % resulted in runs of 4 or less. Therefore a lot of games are necessary to obtain a sufficient number of long runs.

4. Conclusion

We presented a new model of carom billiards which accounts for position play. By modelling carom billiards as a Markov process —instead of a Bernoulli process has was done so far—the probability to make a shot is correlated to the difficulty of the previous shot. The probability to score at least n points is then a sum of N geometrical sequences, where N is an integer which states how many different kinds of shots exist. Since $N = 1$ corresponds to a Bernoulli process the “usual” model is a particular case of the present model. Using this model it is possible to *quantify* how much a player plays position. As a consequence, if two players have the same average, it is possible to tell which one plays position better, i.e. a player can know whether he should be concerned with improving his position play. When little position is played there is an ambiguity as several sets of very different eigenvalues can be used to described the data, leading to very different interpretations. The model is therefore more suitable to the “small” games than to three-cushion.

Appendix: glossary

- average: average number of points scored by inning. Used officially and/or unofficially to rank players.
- balkline: games in which the balls cannot be kept in the same zone of the table for more than one or two shots in a row. The name comes from the lines drawn on the table as borders between zones. The three kinds of balkline are 47/2, 47/1, and 71/2.
- cushion games: games in which the cue ball must hit a certain number (one or three) of cushions (rails) before it hits the second object ball.
- playing position: trying not only to score the point but also to get an easy position on the next shot. The rail nurse is an example of position play.
- rail nurse: the player gathers the balls close to a rail in order to have a series of easy shots resulting in a very long run. This technique can be used for straight-rail, balkline and one-cushion but is unsuitable for three-cushion.
- run: series of point without missing. Length of that series, as in *a run of 10*.
- straight-rail billiards (also called straight billiards): the easiest version of the game in which a point is scored when the cue ball contacts both object balls, without any additional constraint.

Acknowledgments

I wish to thank Arnold Allenic for his useful comments, and Jean-Luc Frantz and Bob Jewett for providing score sheets.

References

- Coriolis, G. G. (1835). *Théorie mathématique des effets du jeu de billard*. Carilian-Gœury, Paris, France (reedited as facsimile by Phénix in 2003).
- Fray, J. M. (2002). A propos de la moyenne au billard carambole. In F. Caudron (Ed.), *Le billard en expansion*. Deleuze, Ledegem, Belgium.
- Petit, R. (1996). *Billard, théorie du jeu*. Chiron, Paris, France.

Le replacement au billard carambole comme processus de Markov

Mathieu Bouville

Institute of Materials Research and Engineering, 3 Research Link, Singapore 117602

adresse e-mail: m-bouville@imre.a-star.edu.sg

Résumé. En employant certaines techniques un joueur de billard peut obtenir de longues séries de coups faciles — chaque coup débouchant sur un autre coup facile — et des scores élevés. Le modèle classiquement utilisé est basé sur un processus de Bernoulli qui ne tient pas compte de telles corrélations, il ne peut donc pas saisir cet aspect important des jeux de séries. En modélisant le billard carambole comme un processus de Markov la probabilité de réussir un point dépend de la difficulté du coup précédent. Le meilleur accord avec les données montre qu'un processus de Markov représente mieux les effets du replacement. De plus il est possible de quantifier le replacement. De deux joueurs ayant la même moyenne, on peut ainsi distinguer celui capable de jouer les coups difficiles de celui jouant bien le replacement. Ceci peut servir aux joueurs pour évaluer leurs forces et leurs faiblesses.

Note : Ce texte est une traduction. La version anglaise est la version originale. Malgré tout le soin apporté bla bla cette version peut contenir des passages obscures ou inexacts. Dans de tels cas se référer (si possible) à la version anglaise.

Mots clés: sport, billard, processus de Markov, processus de Bernoulli

1. Introduction

Le billard carambole (ou « billard français ») se joue avec trois billes sur une table sans poches (un court glossaire est proposé en annexe.) La bille du joueur doit toucher les deux autres billes pour que le joueur marque un point et puisse rejouer. Quand il manque c'est au tour de son adversaire de jouer. A la fin de la partie une moyenne peut être obtenue en divisant le nombre de points marqués par le nombre de reprises. Des classements peuvent être établis en se basant sur la moyenne des joueurs, même pour des joueurs qui n'ont jamais joué l'un contre l'autres ; comme en athlétisme où temps et distances peuvent être comparés pour établir des classements entre des athlètes qui ne se sont jamais rencontrés.

1.1. Historique

En 1880, à Paris, dans un match entre le français Vignaux et l'américain Slosson, ce dernier a marqué 1 103 points d'affilé. Vignaux a alors marqué 1 531 points. Dix ans plus tard 3 000 points ont été marqués à San Francisco. Ceci correspond à jouer pendant des jours sans manquer. Si une position des billes sur la table est choisie aléatoirement aucun joueur n'a une probabilité de manquer inférieure à, disons, 1 %. Mais quand les joueurs parviennent à rassembler les billes près d'une bande ils peuvent avoir de très longues séries (séries de points sans manquer.) Ils ne pourraient pas jouer pendant des heures sans manquer s'ils devaient faire face à de nombreux points difficiles. Afin d'avoir des coups plus faciles les joueurs doivent rassembler les billes (il est difficile de manquer quand les billes sont tout près les unes des autres) et les garder ensemble. Cette technique s'appelle l'américaine.

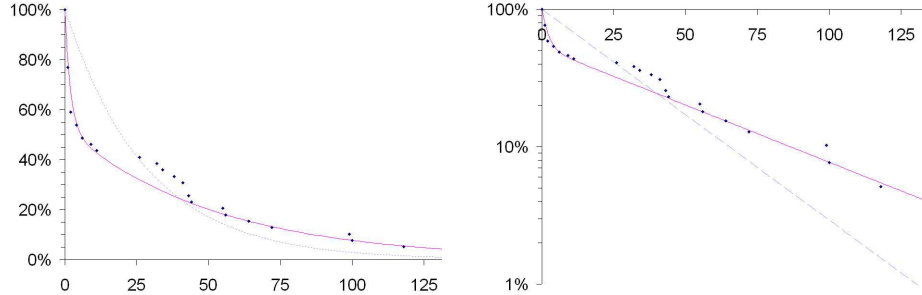


Fig. 1. μ_n , la probabilité de marquer au moins n points, en fonction de n sur une échelle linéaire (a) et semi-logarithmique (b). Losanges : données de B. Villiers ; pointillés courts : modèle bernoullien ; pointillés longs : modèle markovien.

Pour rendre le jeu moins facile de nouvelles règles ont été introduites. Dans les jeux de cadres par exemple il est interdit de laisser les billes dans un certain secteur de la table pendant plus d'un ou deux coups. Une autre manière de rendre le jeu plus difficile est d'imposer au joueur de toucher un certain nombre de bandes avant que sa bille n'entre en contact avec la troisième bille. Le modèle présenté dans cet article est plus approprié pour les jeux de séries pour lesquels de longues séries peuvent être obtenues.

1.2. Le billard carambole comme processus de Bernoulli

Le billard a été étudié en détail depuis au moins 170 ans Coriolis (1835); Petit (1996) du point de vue de la mécanique des solides. L'étude des statistiques du billard a en revanche été limitée à supposer un processus de Bernoulli. † Soit μ_n la probabilité de marquer au moins n points. Le modèle classique suppose un processus de Bernoulli avec un taux de réussite $\lambda < 1$. Le terme général de (μ_n) est alors

$$\mu_n = \lambda^n. \quad (1)$$

La longueur moyenne d'une série est $m = \lambda/(1 - \lambda)$. La distribution des séries est complètement déterminée par λ : si λ est connu, il y a une probabilité connue $\mu_n = \lambda^n$ d'avoir une série d'au moins n points. Il y a une équivalence entre λ et la moyenne, et Fray (2002) appelle même λ une moyenne. La figure 1 montre les résultats de Bernard Villiers quand il a gagné le tournoi de Courbevoie de cadre 47/2 en 2004. Ces données sont basées sur les 39 séries complètes qu'il a jouées dans le tournoi (les séries qui ont été interrompues parce que Villiers a atteint 200 points et gagné le match ne sont pas comptabilisées). Le modèle bernoullien (pointillés courts) donne des résultats très différents des données (losanges.) Il surestime l'importance des courtes séries et sous-estime celle des longues séries.

†Ce modèle bernoullien peut être trouvé dans nombre de livres ou d'autres sources. Il a probablement été obtenu indépendamment par beaucoup de gens. Il est donc impossible de déterminer son « inventeur ».

1.3. L'importance du replacement

La moyenne est couramment employée pour classer les joueurs. Cependant elle ne peut contenir toute l'information de la distribution des séries. En particulier, elle ne fournit aucune information sur le replacement, qui est très important dans les jeux de séries. La probabilité de marquer un point dépend de sa difficulté, qui n'est pas nécessairement aléatoire. Face à un coup difficile le joueur cherche surtout à marquer (on suppose que le joueur cherche à marquer le point sans souci de défense). Mais sur les coups faciles, marquer n'est pas un problème et le joueur peut essayer de jouer d'une manière telle que le point sera marqué et la position finale des billes sera telle que le prochain coup sera également facile. Ceci s'appelle le replacement. Après un coup facile, on peut donc obtenir un coup plus facile que la moyenne. Naturellement, la corrélation entre les coups successifs dépend du talent du joueur et du mode de jeu (peu de coups de trois-bandes sont vraiment faciles). Par conséquent un joueur peut avoir une série de coups faciles et de très longues séries. De telles corrélations sont complètement absentes du modèle bernoullien décrit au paragraphe 1.2 ; il ne peut donc pas correctement décrire les jeux de séries.

Bien que quelques limitations de ce modèle bernoullien aient été considérées, en particulier des problèmes liés à la longueur finie des matches Fray (2002), l'effet du replacement n'a jamais été étudié. Cet article décrit un nouveau modèle qui maintient une partie de l'essence du jeu *via* la corrélation entre coups successifs. Dans ce modèle la position des billes sur la table (et donc la difficulté du coup) dépend du coup précédent. A la différence d'un processus de Bernoulli, ce processus de Markov peut tenir compte du replacement ; il permet donc un progrès de la compréhension des jeux pour lesquels le replacement est capital. Dans la partie 3 on utilise le modèle pour obtenir des informations à partir des données.

2. Le billard carambole comme processus de Markov

2.1. Un processus de Markov intuitif

Si on considère qu'il existe N_0 positions possibles des billes sur la table, le résultat d'un coup peut être un succès avec les billes finissant dans une des N_0 configurations possibles ou un échec. La probabilité de marquer un coup et la position des billes pour le prochain coup dépendent seulement de la position des billes au début du coup, pas de leur position antérieure. La succession des coups est donc un processus de Markov à $N_0 + 1$ états, où le temps est l'indice du coup. Malheureusement les probabilités de transition sont nombreuses, $O(N_0^2)$, et elles ne peuvent pas être aisément obtenues.

2.2. Un processus de Markov applicable

Des positions similaires peuvent être regroupées pour n'avoir que N types de positions. Si on choisit N petit, le nombre de paramètres peut être suffisamment faible pour qu'ils puissent être interprétés concrètement.

On considère qu'il existe deux types de coups : des coups difficiles (type 1) et des coups faciles (type 2). En jouant un coup donné, il y a trois résultats possibles : manquer, succès avec les billes dans une position difficile, et succès avec les billes dans une position facile. Une position difficile est une position des billes qui rend le coup difficile ; on utilisera donc « coup difficile » et « position difficile » comme des synonymes. De même naturellement pour les positions et coups faciles. Les types de coups peuvent *a priori* être choisis arbitrairement. Cependant, vu que le modèle est centré sur les probabilités de marquer, il est beaucoup plus

utile si les différents types de coups ont différentes probabilités d'être réussis. c'est pour cette raison qu'on choisit les coups difficiles et faciles comme type 1 et 2.

Soit $P^{(n)}$ le vecteur de composantes la probabilité que les billes soient dans une position difficile et la probabilité que les billes soient dans une position facile après le coup n . La suite $(P^{(n)})$ obéit à

$$P^{(n+1)} = KP^{(n)}. \quad (2)$$

L'élément k_{ij} de la matrice K est la probabilité de marquer sur un coup de type j et que le prochain coup soit de type i . Soit κ_i la probabilité de marquer sur un coup de type i , $\kappa_i = k_{1i} + k_{2i}$. K est *apparentée* à une transition. L'état correspondant à un manqué n'est pas inclus car les composantes afférentes peuvent être obtenues simplement à partir de K , la probabilité de manquer un coup de type i , par exemple, est $1 - \kappa_i$. Soit ρ_1 et ρ_2 les valeurs propres de K . $P^{(n)}$ s'écrit

$$P^{(n)} = U \begin{pmatrix} \rho_1^n & 0 \\ 0 & \rho_2^n \end{pmatrix} U^{-1} P^{(0)}. \quad (3)$$

U est une matrice de rotation. Les composantes de $P^{(n)}$, $p_1^{(n)}$ et $p_2^{(n)}$, sont respectivement les probabilités d'avoir les billes dans une position difficile et dans une position facile après le coup n . Leur somme est μ_n , la probabilité d'avoir marqué au moins n points,

$$\mu_n = \begin{pmatrix} 1 & 1 \end{pmatrix} P^{(n)} = \begin{pmatrix} 1 & 1 \end{pmatrix} U \begin{pmatrix} \rho_1^n & 0 \\ 0 & \rho_2^n \end{pmatrix} U^{-1} P^{(0)}. \quad (4)$$

μ_n est de la forme $\mu_n = (1 - Y)\rho_1^n + Y\rho_2^n$. Cette somme de suites géométriques est conforme aux données du tournoi de Courbevoie. La figure 1(b) montre μ_n sur une échelle semi-logarithmique en fonction de n : les données suivent une exponentielle pour les petits n et une autre exponentielle aux valeurs élevées de n . Ceci montre que l'équation (4) est une meilleure description du billard carambole que l'équation (1).

2.3. Extension à N types de positions

L'équation (4) peut être étendue à N dimensions en tenant compte de N types de coups possibles,

$$\mu_n = \begin{pmatrix} 1 & \dots & 1 \end{pmatrix} U_N \begin{pmatrix} \rho_1^n & & \\ & \ddots & \\ & & \rho_N^n \end{pmatrix} U_N^{-1} P^{(0)}. \quad (5)$$

Soit ρ une valeur propre de K et V le vecteur propre associé. En utilisant que $\sum_i k_{ij} < 1$, la norme de KV est $\|KV\| = \sum_i |\sum_j k_{ij}v_j| \leq \sum_i \sum_j k_{ij}|v_j| < \sum_j |v_j| = \|V\|$. Comme $\|KV\| = |\rho|\|V\| < \|V\|$, $|\rho| < 1$. Le module des valeurs propres est inférieur à 1. Donc la moyenne, la somme sur n de μ_n , converge :

$$m = \begin{pmatrix} 1 & \dots & 1 \end{pmatrix} U_N \begin{pmatrix} \frac{\rho_1}{1-\rho_1} & & \\ & \ddots & \\ & & \frac{\rho_N}{1-\rho_N} \end{pmatrix} U_N^{-1} P^{(0)}. \quad (6)$$

3. Quantifier le replacement

Un des buts principaux de ce modèle est de mesurer le replacement. Cependant le système est sous-défini : les quatre paramètres initiaux — les éléments de la matrice K — débouchent sur deux valeurs propres. Celles-ci peuvent être obtenues à partir des feuilles de matches d'un joueur mais les quatre inconnues ne peuvent pas être calculées à partir de seulement deux nombres. Dans cette partie on montre quelles informations peuvent être extraites des données.

3.1. Calcul des éléments de la matrice K à partir des valeurs propres

Si $k_{21} = k_{11}$ et $k_{12} = k_{22}$ alors $\rho_1 = 0$. k_{21} et k_{11} sont les probabilités d'avoir un coup facile et un coup difficile respectivement après un coup difficile. Si $k_{2i} = k_{1i}$ alors le joueur ne parvient pas à obtenir de coups faciles et il n'y a aucune corrélation entre les coups consécutifs. Afin d'évaluer l'effet du replacement on définit δk_1 et δk_2 par $k_{21} = k_{11} + \delta k_1$ et $k_{22} = k_{12} + \delta k_2$. Si δk_1 est positif le joueur obtient plus de coups faciles que de coups difficiles après un coup difficile et si δk_2 est positif le joueur obtient plus de coups faciles que de coups difficiles après un coup facile .

Les valeurs propres ρ_1 et ρ_2 sont connues en fonction des éléments de K . En inversant le système δk_1 et δk_2 peuvent être obtenus en fonction de ρ_1 , ρ_2 et de deux éléments de K , par exemple k_{11} et k_{12} .

$$\delta k_1 = (k_{11} - \rho_1)(\rho_2 - k_{11})/k_{12} - k_{11} \quad (7a)$$

$$\delta k_2 = \rho_1 + \rho_2 - k_{11} - k_{12}. \quad (7b)$$

3.2. Valeurs possibles de δk_1 et δk_2

Les valeurs de k_{11} et k_{12} ne sont pas connues. Cependant ces deux paramètres ne peuvent pas prendre n'importe quelles valeurs : ils doivent être entre 0 et 1, $0 < k_{2i} = k_{1i} + \delta k_i < 1$, $0 < k_{1i} + k_{2i} = 2k_{1i} + \delta k_i < 1$ et $k_{11} + k_{21} < k_{12} + k_{22}$. En se limitant à ces valeurs acceptables et étant données les valeurs des valeurs propres (obtenues à partir des feuilles de matches) y a-t-il des valeurs admissibles pour k_{11} et k_{21} satisfaisant l'équation (7) ? Pour certains couples $(\delta k_1, \delta k_2)$ des k_{11} et k_{21} appropriés existent, mais pas pour tous. La figure 2 montre le lieu des couples $(\delta k_1, \delta k_2)$ solutions de l'équation (7). Il est possible d'obtenir explicitement les valeurs acceptables de δk_1 et de δk_2 . Les démonstrations ne sont pas difficiles mais les résultats sont un ensemble de conditions bizarres que δk_1 et δk_2 doivent vérifier. Ces conditions ne sont pas importantes en elles-mêmes et peuvent être exprimées plus simplement graphiquement.

La figure 2 montre les valeurs possibles de δk_1 et de δk_2 dans deux cas. La partie « pointue » de la figure 2(b) est à $(\delta k_1, \delta k_2) = (\delta k_1, \delta k_1 + 2(\rho_1 + \rho_2 - 1))$. Ce point correspond à la solution avec le plus grand δk_1 . Une solution avec $\delta k_1 > 0$ et $\delta k_2 > 0$ existe ssi $\rho_1 < 1 - \rho_2/2$. Si cette condition s'applique il est possible que le joueur joue le replacement sur les coups faciles et difficiles. C'est le cas de la figure 2(a) mais pas de la figure 2(b) : Villiers ne joue pas le replacement sur les coups difficiles.

La figure 2(b) montre les résultats pour Villiers ($\rho_1 = 0,60$ et $\rho_2 = 0,981$). Bien que sa valeur précise soit inconnue δk_2 doit être positif et δk_1 est négatif : Villiers obtient généralement un coup facile après un coup facile (grâce à l'américaine) mais après un coup

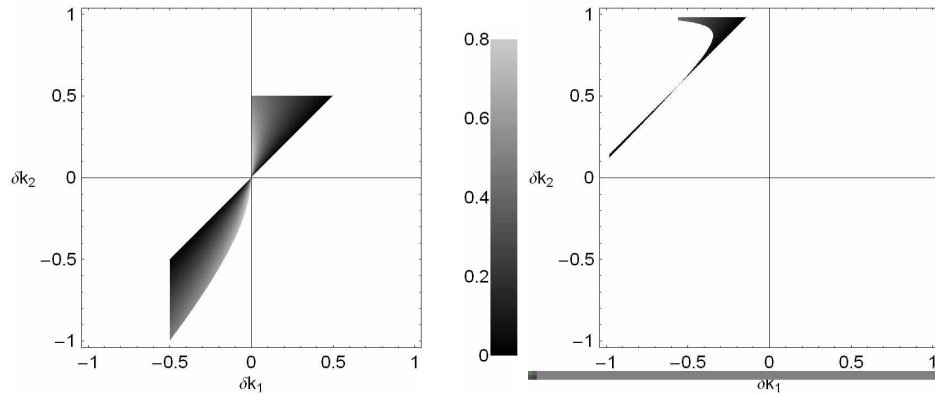


Fig. 2. Le lieu de $(\delta k_1, \delta k_2)$ pour $\rho_1 = 0$ et $\rho_2 = 1/2$ (a) et pour $\rho_1 = 0,60$ et $\rho_2 = 0,981$ (b). Le niveau de gris indique la différence entre la probabilité de marquer sur des coups faciles et sur des coups difficiles.

Tab. 1. Y , ρ_1 , ρ_2 , m et μ_{100} pour B. Villiers en utilisant les processus de Bernoulli et Markov. $m = 27,8^*$ signifie que les paramètres ont été obtenus avec la contrainte que m doit être égal à 27,8.

	Y	ρ_1	ρ_2	$\rho_1 + \rho_2$	m	μ_{100}
Bernoulli	1*	0*	0,965	0,965	27,8*	2,9 %
Markov	0,53	0,600	0,981	1,581	27,8*	7,7 %

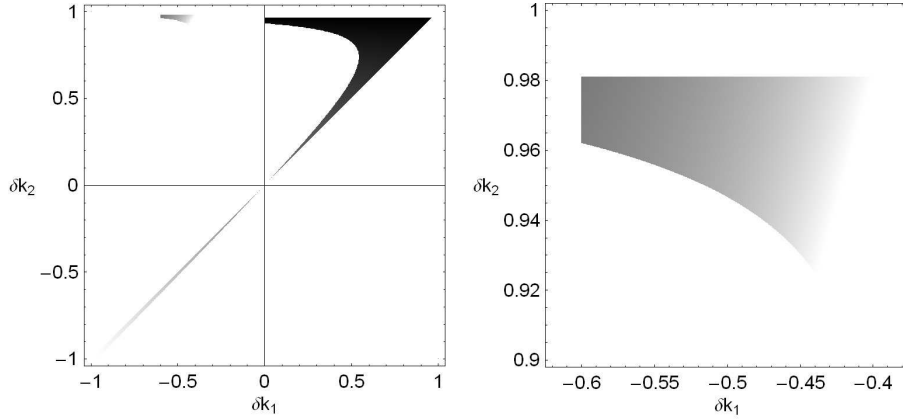


Fig. 3. La proportion de positions difficiles laissées par l'adversaire, $p_1^{(0)}$, en fonction de δk_1 et δk_2 . En haut à gauche de la figure (a) on a le lieu pour $\rho_1 = 0,60$ et $\rho_2 = 0,981$ (Villiers) et sur la droite $\rho_1 = 0$ et $\rho_2 = 0,9653$. La figure (b) zooms sur les résultats de Villiers.

difficile il ne parvient généralement pas à obtenir un coup facile. Le tableau 3.2 donne les paramètres employés pour les régressions de la figure 1.

3.3. Comparer deux joueurs ayant la même moyenne

Etant donnés deux joueurs avec la même moyenne, le modèle peut aider à distinguer le joueur qui marque même sur les coups difficiles mais ne joue pas le remplacement du joueur jouant l'« américaine ». Ceci peut être utile pour que les joueurs puissent évaluer leurs forces et faiblesses.

Comparons B. Villiers à un joueur qui aurait la même moyenne (27,82) mais pour qui $\rho_1 = 0$ et $\rho_2 = 0,9653$. La figure 3 donne, pour les deux joueurs, les valeurs possibles de δk_1 , δk_2 et $p_1^{(0)}$ telles que la moyenne est 27,82. Il y a peu de valeurs possibles pour Villiers tandis que le joueur virtuel a beaucoup de couples $(\delta k_1, \delta k_2)$ possibles. A la différence de la figure 2(b) la figure 3 impose que la moyenne soit 27,82 : des valeurs de δk_1 et δk_2 ne pouvant donner la moyenne correcte pour aucune valeur $p_1^{(0)}$ sont rejetées dans le cas de la figure 3. En raison de cette contrainte supplémentaire la valeur de δk_2 doit être supérieure à 0,92 pour Villiers. Comme prévu pour un jeu de cadre δk_2 est grand. δk_2 est connu à moins de 0,06 près et δk_1 à moins de 0,20 près. En utilisant les valeurs -1/2 et 0,97 pour δk_1 et δk_2 , la matrice K est

$$K \approx \begin{pmatrix} 0,60 & 0,01 \\ 0,10 & 0,98 \end{pmatrix}. \quad (8)$$

3.4. Stratégie de l'adversaire

Le premier coup joué par un joueur est le coup laissé par son adversaire. Il n'est pas forcément aléatoire. Si l'adversaire joue défensivement, il peut laisser les billes dans une position plutôt difficile la plupart du temps. En revanche s'il joue offensivement il peut

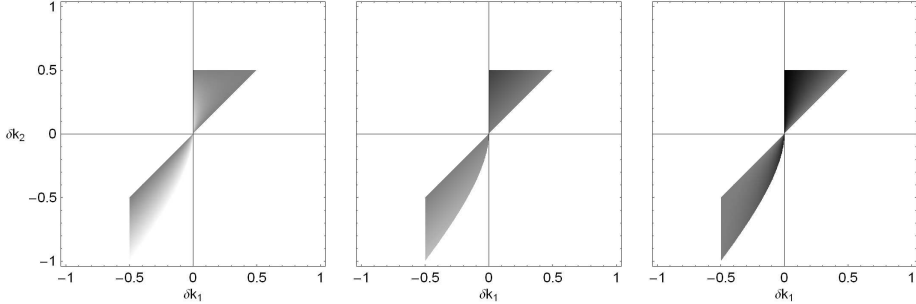


Fig. 4. La moyenne pour $\rho_1 = 0$ et $\rho_2 = 1/2$. La proportion de coups difficiles laissés par l'adversaire est $p_1^{(0)} = 0$ (a), $p_1^{(0)} = 1/2$ (b) et $p_1^{(0)} = 1$ (c).

donner une bonne position à son adversaire s'il manque. Les valeurs propres ρ_1 et ρ_2 dépendent seulement de K , pas de $P^{(0)}$. Elles sont donc indépendantes de l'adversaire. Elles peuvent être déterminées à partir de l'équation (4) et des données moyennées sur plusieurs adversaires.

La figure 4 est la moyenne dans le cas où $\rho_1 = 0$ et $\rho_2 = 1/2$ pour trois genres d'adversaires. Pour la figure 4(a) l'adversaire laisse seulement des coups faciles, c'est-à-dire que le premier coup que le joueur doit jouer est toujours facile. Dans le cas de la figure 4(c) l'adversaire laisse seulement des coups difficiles et moitié facile moitié difficile dans le cas de la figure 4(b). Quand $\delta k_1 = \delta k_2 = 1/2$ la moyenne est toujours 1, indépendamment de ce que fait l'adversaire. Si $\delta k_1 = 0$ et $\delta k_2 = 1/2$ en revanche la moyenne peut varier entre 0 et 1 en fonction de la stratégie de l'adversaire. Ceci fournit des informations supplémentaires : si pour un joueur donné on connaît ρ_1 , ρ_2 et on sait comment le joueur se comporte contre des joueurs jouant plutôt offensivement ou défensivement il est possible de réduire le nombre de couples $(\delta k_1, \delta k_2)$ possibles. Si par exemple on sait qu'un joueur avec $\rho_1 = 0$ et $\rho_2 = 1/2$ n'est pas très sensible à la stratégie de son adversaire on déduira que $\delta k_1 \approx \delta k_2$.

3.5. Cas du trois-bandes

Au trois-bandes obtenir une bonne position sur le prochain coup est difficile (même marquer un point est difficile et un joueur qui marque deux tiers du temps est parmi les meilleurs au monde). Au premier ordre en δk_1 et δk_2 , (μ_n) est tel que

$$\ln \mu_n = \ln Y + n \left[\ln (k_{11} + k_{12}) + \frac{k_{12}}{(k_{11} + k_{12})^2} (\delta k_1 + \delta k_2) \right] + o[(\delta k_1 + \delta k_2)n]. \quad (9)$$

Au trois-bandes n devient rarement grand, l'équation s'applique donc tant que δk_1 et δk_2 sont petits. Le logarithme de μ_n est alors de la forme $A + Bn$. Il est donc semblable à l'expression obtenue en utilisant un modèle bernoullien, quand μ_n est une suite géométrique. Dans ce cas-ci, bien que le joueur joue le replacement, le graphe de μ_n en fonction de n semblerait identique à celui d'un joueur qui ne joue pas du tout le replacement. Il est donc difficile d'appliquer ce modèle au trois-bandes puisqu'il est plus difficile de saisir les effets subtiles du replacement.

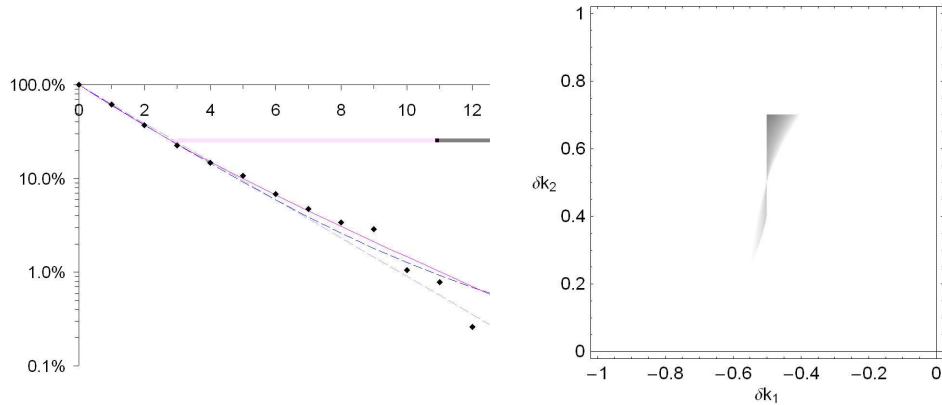


Fig. 5. (a) : μ_n , la probabilité de marquer au moins n points, en fonction de n sur une échelle semi-logarithmique. Losanges : données de R. Ceulemans; pointillés longs : modèle bernoullien; pointillés courts : modèle markovien ($\rho_1 = 0,5$ et $\rho_2 = 0,7$). (b) : Lieu de $(\delta k_1, \delta k_2)$ pour $\rho_1 = 0,5$ et $\rho_2 = 0,7$; le niveau de gris correspond à la moyenne si $p_1^{(0)}$.

La figure 5 représente $\ln \mu_n$ en fonction de n pour Raymond Ceulemans au championnat du monde de trois-bandes 1978. Il a joué 382 reprises, gagné tous ses matches et remporté le tournoi. Raymond Ceulemans est probablement le meilleur joueur de tous les temps, il a plus de 100 titres (mondiaux, européens et belges). Il a gagné 17 des 18 championnats du monde de trois-bandes organisés entre 1963 et 1980. Même pour un tel joueur au sommet de sa carrière le trois-bandes est difficile et, à la différence de ce qui a été observé sur la figure 1 pour Villiers jouant au cadre 47/2, les résultats de Ceulemans sont assez proches d'une exponentielle. La figure 5(b) représente les valeurs possibles de δk_1 et δk_2 en utilisant les valeurs $\rho_1 = 0,5$ et $\rho_2 = 0,7$ — ces valeurs ont été employées pour tracer la ligne continue de la figure 5(a). Bien que la différence entre les modèles bernoullien et markovien soit plus petite que dans le cas de Villiers (figure 1) la figure 5(b) prouve que δk_2 est positif : Ceulemans joue le placement.

3.6. Solutions absurdes bien que mathématiquement correctes

Les solutions de la figure 2 sont mathématiquement possibles mais certaines peuvent n'avoir aucun sens. Le niveau de gris indique la différence entre la probabilité de marquer sur les coups faciles, $k_{12} + k_{22}$, et la probabilité de marquer sur les coups difficiles, $k_{11} + k_{21}$. Des valeurs largement négatives de δk_2 sont suspectes puisqu'elles indiquerait que le joueur marque beaucoup sur les coups faciles mais ne parvient jamais à obtenir de série de coups faciles. Les cas où la probabilité de marquer sur les coups faciles et sur les coups difficiles est à peu près identique sont eux aussi suspects. Ce modèle peut seulement fournir un ensemble de *possibilités*. Il n'est pas possible de trouver la matrice K sans ambiguïté car le système est sous-défini. Bon sens et connaissance du jeu sont nécessaires pour rejeter certains des résultats qui sont solutions des équations mais pas solutions du problème.

3.6.1. Cas du trois-bandes

Vu que $(\ln \mu_n)$ est proche d'une fonction linéaire ou bien $\rho_1 \approx \rho_2$ (comme pour R. Ceulemans) ou bien une valeur propre est proche de la raison obtenue avec un processus de Bernoulli et a un coefficient proche de 1 et l'autre valeur propre a un coefficient proche de 0 et contribue peu. Dans ce dernier cas une des valeurs propres peut être choisie arbitrairement sans changer μ_n et n'a donc que peu de sens.

Si $\mu_n = 1/2(\rho_0 - \varepsilon)^n + 1/2(\rho_0 + \varepsilon)^n$ alors $\mu_n = \rho_0^n + O(\varepsilon^2)$. C'est très similaire au cas $\rho_1 = 0$ et $\rho_2 = \rho_0$. Cependant les valeurs de δk_1 et δk_2 seraient très différentes dans ces deux cas. En outre, si Y est petit ou près de 1 alors $\mu_n \approx X\rho^n$, X vaut Y ou $1 - Y$ et ρ est une valeur propre. Ce cas aussi donne un μ_n semblable au cas bernoullien. Cependant ces deux cas et Bernoulli donneraient des valeurs très différentes de K .

La figure 5(a) représente deux couples de valeurs propres possibles. Dans un cas $\mu_n = 1/2 0,7^n + 1/2 0,5^n$ et dans l'autre cas $\mu_n = 0,95 0,6^n + 0,05 0,83^n$. Ce dernier cas impliquerait que ses adversaires lui ont laissé presque uniquement des coups difficiles, ce qui est peu probable. Bien que cet ensemble de paramètres avec une valeur de ρ_1 proche de la probabilité de succès obtenue dans le modèle bernoullien (60 % au lieu de 62,5 %), un grand ρ_2 et une valeur de Y proche de 0 soit en accord avec les données ça semble une solution très peu probable.

La différence entre modèles bernoullien et markovien est flagrante seulement pour de longues séries dans le cas du trois-bandes. Les deux ensembles de paramètres envisagés dans le paragraphe précédent donnent des valeurs de μ_n différentes seulement pour n plus grand qu'environ 15. Dans le cas de Ceulemans, parmi les 382 reprises jouées 90 % ont donné lieu à des séries de 4 ou moins. Par conséquent beaucoup de matches sont nécessaires pour obtenir un nombre suffisant de longues séries.

4. Conclusion

On a présenté un nouveau modèle du billard carambole qui tient compte du replacement. En modélisant le billard carambole comme un processus de Markov — au lieu d'un processus de Bernoulli comme c'était le cas jusqu'ici — la probabilité de marquer un point est corrélée à la difficulté du coup précédent. La probabilité de marquer au moins n points est alors une somme de N suites géométriques, où N est un entier qui représente le nombre de différents types de coups existant. Puisque $N = 1$ correspond à un processus de Bernoulli le modèle « habituel » est un cas particulier du présent modèle. En utilisant ce modèle il est possible de mesurer combien un joueur joue le replacement. Par conséquent, si deux joueurs ont la même moyenne, il est possible de dire lequel des deux joue le mieux le replacement, c'est-à-dire que le joueur peut savoir quels sont ses points faibles et forts. Dans les cas où il y a peu de replacement il existe une ambiguïté car plusieurs ensembles de valeurs propres très différentes peuvent être employés pour décrire les données, menant à des interprétations fort différentes. Le modèle est donc plus approprié aux jeux de série qu'au trois-bandes.

Appendice : glossaire

- américaine : le joueur rassemble les billes à proximité d'une bande afin de n'avoir que des coups faciles à jouer et d'obtenir de longues séries. Cette technique peut être utilisée à la libre, pour les jeux de cadres et à la bande mais n'est pas applicable au trois-bandes.

- bandes (une bande, trois bandes) : modes de jeu où la bille du joueur doit entrer en contact avec un certain nombre de bandes (une ou trois) avant de conclure le point.
- cadres : modes de jeu, au nombre de trois : 47/2, 47/1 et 71/2, où les billes ne peuvent pas être laissées dans la même partie du billard pendant plus d'un ou deux coups.
- moyenne : nombre moyen de points marqués par reprise. Utilisé officiellement et/ou officieusement pour classer les joueurs.
- partie libre (ou libre) : mode de jeu le plus simple dans lequel un point est marqué si la bille du joueur touche les deux autres billes, sans autre contrainte.
- replacement : fait d'essayer non seulement de marquer le point mais aussi d'obtenir une position favorable pour le prochain coup. L'américaine en est un exemple.
- série : coups successifs sans manquer. Points ainsi marqués, *une série de 10*.

Remerciements

Je tiens à remercier Arnold Allenic pour ses conseils avisés ainsi que Jean-Luc Frantz et Bob Jewett pour m'avoir fourni des feuilles de matches.

Références

- Coriolis, G. G. (1835). *Théorie mathématique des effets du jeu de billard*. Carilian-Gœury, Paris, France (réédité en fac-similé par Phénix Éditions en 2003).
- Fray, J. M. (2002). A propos de la moyenne au billard carambole. In F. Caudron (Ed.), *Le billard en expansion*. Deleye, Ledegem, Belgique.
- Petit, R. (1996). *Billard, théorie du jeu*. Chiron, Paris, France.